

## Galactomannan 이용에 관한 연구: Affinity Chromatography에 의한 지렁이 유래 $\alpha$ -Galactosidase의 정제 및 응용법

박귀근\* · 정규훈 · 小林 秀行<sup>1</sup>

경원대학교 공과대학 식품생물공학과, <sup>1</sup>일본 농림수산성 식품총합연구소 분자정보해석연구실

**Purification and Application of Earthworm  $\alpha$ -Galactosidase by Affinity Chromatography.** Park, Gwi-Gun\*, Gu-Hun Jung, and Hideyuki Kobayashi<sup>1</sup>. Department of Food and Bioengineering, Kyungwon University, Sungnam 461-701, Korea, <sup>1</sup>National Food Research Institute, Ministry of Agriculture, Forestry and Fisheries Mol. Func. Lab., Japan – An  $\alpha$ -D-galactosidase ( $\alpha$ -D-galactoside galactohydrolase, EC 3. 2. 1. 22) from earthworm was purified by affinity chromatography using *N*-ε-aminocaproyl- $\alpha$ -D-galactopyranosylamine coupled to sepharose and its properties were examined. The specific activity of the purified enzyme, tested with *p*-nitrophenyl- $\alpha$ -D-galactopyranoside as substrate, was 314 units/mg protein, representing an 122-fold purification of the original crude extract. The final preparation obtained from Sephadex G-25 chromatography showed a single band on SDS-polyacrylamide gel electrophoresis. The molecular weight was determined to be 48,000 by SDS-polyacrylamide gel electrophoresis. The purified galactosidase was showed maximum activity at pH 4.5 and 40°C, and was stable in the pH and temperature ranges from 4.0 to 5.5 and 30 to 50°C, respectively. The enzyme activity was inhibited by  $Zn^{2+}$ ,  $Hg^{2+}$  and  $Co^{2+}$ . When the purified  $\alpha$ -galactosidase treated to guar gum for 6 hour, gel-promoting property was increased. It was clear that enzymatic elimination of galactose from guar gum by purified  $\alpha$ -galactosidase would lead to a significant increase in gelation ability.

**Key words :** galactomannan,  $\alpha$ -galactosidase, earthworm, gel-promoting ability, affinity chromatography

$\alpha$ -Galactosidase( $\alpha$ -D-galactoside galactohydrolase, EC 3. 2. 1. 22)는 자연계에 넓게 분포되어 있으나[20] chromatography에 의한 정제는 최근에 보고되기 시작했으며[2-4, 17], 그들의 kinetics와 기질로서 이용하기 쉬운 oligosaccharide, polysaccharide의 부족으로 많은 연구는 진척되지 못하였다.

최근 coffee bean[6], vicia faba(broad bean)[3], coconut [1] 유래의  $\alpha$ -galactosidase의 정제기술이 발전하면서 많은 연구가 진행되고 있으며 고증합도의 mannooligomer의 조제를 행하기 위해서는 galactomannan에  $\alpha$ -galactosidase를 작용하여 galactose를 절단하는 것이 절대 필수적이며, galactomannan의 완전가수분해에 관여하는 3종류의 효소 즉  $\beta$ -mannanase,  $\beta$ -mannosidase 및  $\alpha$ -galactosidase의 galactomannoooligosaccharides 가수분해산물의 동정에 대한 작용기작이 불명료하여 우선적으로 각 효소에 대한 정제법이 해결해야 할 과제로 고려되고 있다. 동남아시아에서의 주요 농산물인 copra meal은 40~50%의 galactomannan(gal : man = 1 : 10 ~ 1 : 15)<sup>a</sup>) 험유되어 있는데 이와 같이 mannose 함량이 풍부한 동시에 순도가 높은 mannan의 자원은 자

연계에 극히 드물지만, 충분한 이용법은 개발되지 않고 있는 상태이다. 본 연구실에서는 미생물효소를 이용한 mannan의 유효 이용법에 관한 연구 및 mannooligosaccharides의 효율적인 조제방법을 연구하고 있으며[6-8, 12, 21], 또한 이의 조제과정에 관여하는 효소계의 생화학적 연구[13, 18, 19] 및 최근 affinity chromatography에 의한 해바라기 씨 유래  $\alpha$ -galactosidase의 정제법 및 성질을 보고 하였다[15].

본 연구에서는 식품 신소재 개발의 일환으로 정제  $\alpha$ -galactosidase처리에 의한 galactomannan 이용 개발을 목적으로 affinity chromatography법에 의한 지렁이 유래  $\alpha$ -galactosidase의 완전하고 신속한 정제법을 구축하고, 정제 효소에 대한 효소화학적 성질 규명 및 정제효소의 응용법으로서 고기의 점도증가제인 locust bean gum의 대체자원으로서 생화학적 방법에 의한 galactomannan의 효율적 이용법을 주요목적으로 하고 있다.

### 재료 및 방법

#### 재료 및 시약

지렁이는 모란시장에서 구입하여 실험에 사용하였고, *p*-nitrophenyl  $\alpha$ -D-galactopyranoside(Sigma Chemical Co.) 및 기타 시약은 분석용 특급을 사용하였다.

\*Corresponding author

Tel. 82-342-750-5383, Fax. 82-342-750-5383  
E-mail: ggpark@mail.kyungwon.ac.kr

### 효소의 정제법

지렁이 21.0 g에 pH 4.5, 0.05 M acetate buffer 50 mL를 가하고 4°C에서 12,000×g(Vision V1024), 3 min 동안 균질화시킨 후 다시 21,000×g(Vision V1012), 10 min 동안 원심 분리한 후 상층액에 chloroform 37.5 mL을 처리하고 10%  $(\text{NH}_4)_2\text{SO}_4$ 로 처리 한 다음 21,000×g(Vision V1012), 10 min 동안 원심분리 후 상층액을 pH 4.5, 0.05 M acetate buffer에 투석하였다. 0°C, 21,000×g(Vision V1012), 10 min 원심분리 후 상층액 30 mL의 조효소액을 생산하였다. *N*- $\epsilon$ -aminocaproyl- $\alpha$ -D-galactopyranosylamine로 구성되는 특이적 흡착체의 합성과 sepharose에 대한 ligand의 coupling은 일본 농림수산성 식품총합연구소 분자정보해석연구실에서 Noam Hapraz의 방법[11]에 의해 수행하였고 본 연구실에서는 이의 담체를 공급받아 affinity chromatography를 수행하였다. 조제한 조효소액 10 mL을 2 mL/tube, 0.3 mL/min의 유속으로 affinity chromatography하고 난 후에 저분자량의 galactose를 제거하기 위해 증류수로 평형화시킨 Sephadex G-25 column(Pharmacia, 2×20 cm)에 빠른 유속으로 처리하여 void volume에서 용출되는 효소적 활성 fraction(fraction No. 3-6)을 회수하여 정제를 완료한다.

### 단백질 농도 결정

UV-Vis spectrophotometer(Shimadzu Model 1201)에서 280 nm의 흡광도에서 1 mg/mL의 농도를 1.0이라고 가정하였고, Lowry의 방법[9]에 의해서도 단백질농도를 확인하였다.

### 효소 활성의 측정

$\alpha$ -Galactosidase의 활성측정은 Takahashi의 방법[18]에 따라 수행하였다. 40°C의 수욕상(water bath)에서 2 mM pNP-Gal(*p*-nitrophenyl  $\alpha$ -D-galactopyranoside, Sigma) 0.5 mL 및 McIlvaine buffer(pH 4.5, 0.2 M  $\text{Na}_2\text{HPO}_4$ 와 0.1 M citric acid의 혼합액) 0.4 mL를 test tube에 넣고 5분간 preincubation시켰다. 조제한 조효소액 0.1 mL를 가하여 정확히 10분간 반응시킨 후 0.2 M  $\text{Na}_2\text{CO}_3$  1 mL를 첨가하여 반응을 종결시키고 408 nm에서 흡광도를 측정하였다. pNP 용액의 농도와 408 nm에 있어서의 흡광도([A<sub>408</sub>])의 관계는 pH 4.5에서  $[A_{408}] \times 0.1143 = \text{pNP}(\text{mM}/2 \text{ mL})$ (단,  $[A_{408}] < 0.6$ )였다. 또한  $\alpha$ -galactosidase가 pNP-Gal을 가수분해하여 생성되는 pNP 양과 반응시간과의 관계는 10분간 반응에서  $[A_{408}]$ 가 0.6 이하를 나타낼 때 효소액과 비례적 관계를 나타내었다. 상기와 같은 결과로부터 반응 후의  $[A_{408}]$ 가 0.6 이하가 되도록 효소액을 희석하여 활성 측정을 하였다. pH 4.5, 55°C에서 1분간에 1  $\mu\text{M}$ 의 pNP를 pNP-Gal로부터 유리시키는 효소양을 1 unit로 정의하였다. 반응시간과 활성측정을 위해 사용한 효소의 양은 100  $\mu\text{l}$ 이므로 효소액을 D배 희석하여 활성을 측정하는 경우에

$[A_{408}] = A$ 라고 하면, 그 효소활성(unit/mL)은  $([A] - [B]) / [D] \times 0.1143$ ([B]는 미리 0.2 M  $\text{Na}_2\text{HPO}_4$ 를 가하여 반응종결시의  $[A_{408}]$ )이다.

### 전기영동법 및 분자량 결정

정제효소의 분자량은 10 kDa molecular weight marker(Life Technologies LTD., USA)를 이용하여 결정하였고, sodium dodecyl sulfate(SDS)/8% polyacrylamide gel electrophoresis는 Laemmli의 방법[10]에 준하였다.

### 효소화학적 성질

Affinity chromatography에 의해 정제된 효소를 이용하여 반응 최적 pH와 온도, pH 안정성과 열 안정성, 금속이온의 영향 등의 성질을 규명하였다. 반응 최적 pH는 정제효소액(8 units/mL)을 이용하여 40°C에서 pH 2부터 8까지 변환시키면서 효소활성을 측정하였고, 최적 온도는 상기에서 사용한 동일 효소액(8 units/mL)을 이용하여 pH 4.5에서 20°C에서 80°C까지의 범위에서 효소활성을 측정하였다. pH 안정성은 효소를 pH 2부터 8의 McIlvaine buffer를 이용하여 40°C에서 1시간 preincubation시킨 후, 효소의 온도를 일정하게 유지하기 위하여 ice box내에서 pH 4.5, 40°C에서 활성을 측정하였다. 또한 열 안정성실험은 효소액(8 units/mL)을 최적 pH의 완충 용액과 혼합하여 20~80°C, 1시간 preincubation시킨 후 효소의 온도를 일정하게 유지하기 위해 ice box내에서 pH 4.5, 40°C에서 활성을 측정하였다. 금속이온의 영향은 Table 2에서 열거한 금속이온을 처리시 농도가 1 mM이 되도록 정제효소액에 혼합하고 20°C, 1시간 처리후 pH 4.5, 40°C에서 잔존활성을 측정하였다.

### 점도력 측정

정제효소 처리에 의한 galactomannan의 점도증기를 측정하기 위해 0.1 M sodium acetate buffer 5 mL에 1% galactomannan을 용해 후 40 units의 정제  $\alpha$ -galactosidase를 첨가하여 40°C 항온수조에서 2, 6, 12시간반응 후 sampling을 하였다. Sampling한 반응액은 100°C 끓는물에 5분간 담근 후 상온에서 방냉시켜 gel화 하였다. Gel을 형성한 sample은 Brookfield Viscometer(Model DV-II)에 의해 23.7°C, spindle CP-52, 10 rpm의 조건 하에서 viscosity( $\text{mPa} \cdot \text{s}$ )를 측정하였다.

### 결과 및 고찰

#### Affinity chromatography에 의한 정제

Fig. 1과 같이 단백질이 용출되지 않을 때까지 McIlvaine buffer solution(pH 4.5)으로 수세 후 fraction No. 51에서 동일 완충 용액에 대한 0.05 M galactose 10 mL를 column에 주입하고 동일 완충 용액으로 수세를 계속하였다. 효소

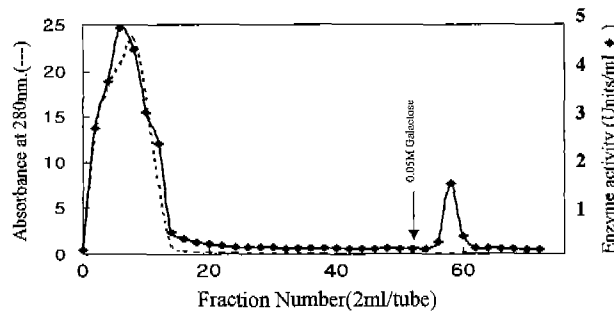


Fig. 1. Purification of  $\alpha$ -galactosidase on a column of  $N$ - $\epsilon$ -aminocaproyl- $\alpha$ -D-galactopyranosylamine-Sepharose conjugate.

활성이 인정되는 fraction(No.56-60)을 모아 저분자량의 galactose를 제거하기 위해 중류수로 평형화시킨 Sephadex G-25 column(Pharmacia, 2×20 cm)에 빠른 유속으로 처리하여 void volume에서 용출되는 효소적 활성 fraction(fraction No. 3-6)을 회수하여 정제를 완료하였다(Fig. 2).

Affinity column chromatography에서 galactose 대신에 *p*-nitrophenyl  $\alpha$ -D-galactopyranoside(pNP-Gal)를 처리하여 효소를 용리할 수도 있으나 본 정제에서는 pNP-Gal 보다는 galactose의 효소 용리능력이 커서 galactose를 처리하였고, 해바라기씨 유래  $\alpha$ -galactosidase의 정제법에서도 galactose로 효소를 유도하는 공통점이 있었다[15]. Coffee bean 유래의 affinity chromatography에서는 pNP-Gal로 효소를 유도하는 상이점이 있었다[11]. 또한 평형화에 사용된 McIlvaine buffer solution(pH 4.5)보다 pH가 높은 6.0으로 최종적으로 column에 과량(120 mL) 용출시킴으로써 단백질 peak를 유도하는 점이 상이하였고, 용출용매(pH 4.5)에서는

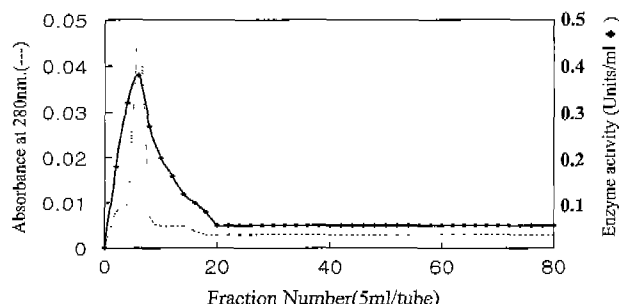


Fig. 2. Chromatography of the  $\alpha$ -galactosidase on a column of Sephadex G-25.

Table 1. Summary of purification of  $\alpha$ -galactosidase from earthworm

| Step                               | Total activity (units) | Total protein (mg) | Specific activity (units/mg) | Purification fold | Yield (%) |
|------------------------------------|------------------------|--------------------|------------------------------|-------------------|-----------|
| Crude enzyme                       | 564                    | 230                | 2.58                         | 1.0               | 100       |
| 30% $(\text{NH}_4)_2\text{SO}_4$   | 440                    | 190                | 2.31                         | 0.89              | 74.0      |
| Affinity chromatography            | 138                    | 1.03               | 134                          | 51.9              | 23.2      |
| Sephadex G-25column chromatography | 75.6                   | 0.24               | 314                          | 122               | 12.7      |

pNP-Gal(50 mM)처리시 어떠한 효소도 용출되지 않았다. 박[14]에 의해 보고된 *Pichia guilliermondii* 유래  $\alpha$ -galactosidase의 특이성 연구에서 정제법으로서 mannobiose-Sepharose의 담체를 조제하여 부분정제에 대해 보고하였으나, 본 연구에서 사용된  $N$ - $\epsilon$ -aminocaproyl- $\alpha$ -D-galactopyranosylamine 흡착제의 합성과 Sepharose에 대한 coupling method는 일본 농림수산성 식품총합연구소에서 공급한 담체를 이용하여 정제를 수행하였다.

Table 1은 정제에 따른 비활성의 증가와 수득률을 나타낸 것으로 기질 *p*-nitrophenyl  $\alpha$ -D-galactopyranoside에 대한 정제효소의 비활성은 314 units/mg, 정제배율은 122배를 나타내었다.

#### 분자량 결정

정제효소는 SDS-polyacrylamide gel electrophoresis에 의해 single band를 나타내었으며(Fig. 3), 분자량은 48,000으로 추정되었다(Fig. 4). 박[15]에 의해 보고된 해바라기씨 유래 정제  $\alpha$ -galactosidase의 분자량은 42,000으로서 동물·식물 유래의 정제효소의 분자량은 대략 6,000 정도의 차이가 있는 것으로 사료되었다.

#### $\alpha$ -Galactosidase 활성에 미치는 pH, 온도의 영향

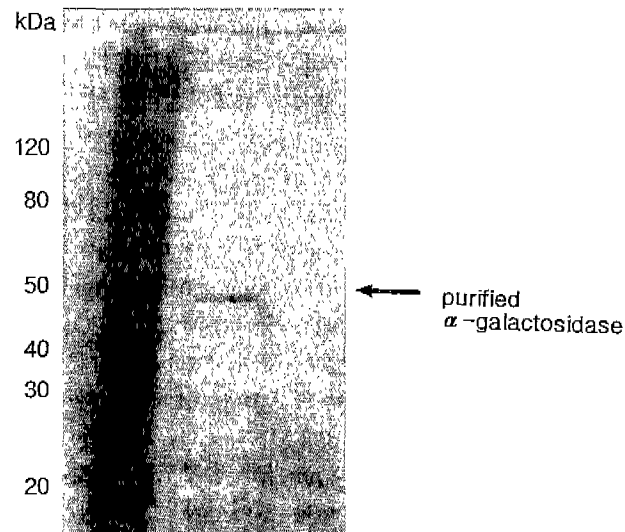


Fig. 3. SDS-polyacrylamide gel electrophoresis of the purified  $\alpha$ -galactosidase.

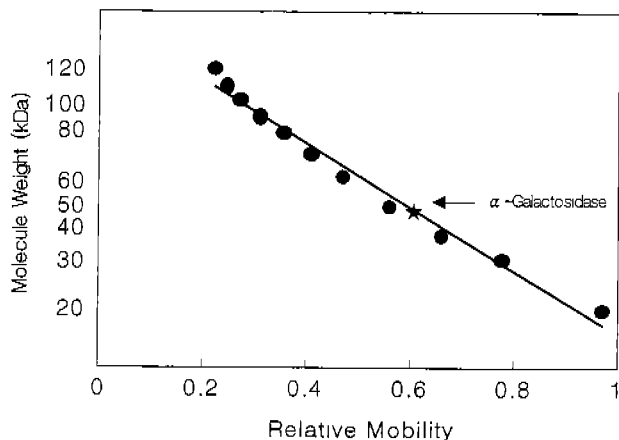


Fig. 4. Estimation of molecular weight of the  $\alpha$ -galactosidase by SDS-polyacrylamide gel electrophoresis.

정제효소에 의한 pNP-Gal 분해에 미치는 pH와 온도의 영향을 검토하였다. Fig. 5-A는 효소반응에 미치는 pH의 영향, Fig. 5-B는 효소반응에 미치는 온도의 영향, Fig. 5-C는 효소의 pH 안정성, Fig. 5-D는 효소의 열 안정성을 나타내고 있다. 정제효소에 의한 pNP-Gal 분해의 최적 pH는 4.5, 최적 온도는 40°C이며, pH 4~5.5에서 100%의 잔존활성을 나타내었다. 열 안정성에서는 30~50°C에서 90% 이상의 잔존활성을 나타내었고 80°C에서는 34%의 잔존활성을 나타내었다. 박[15]에 의해 보고된 해바라기씨 유래 정제  $\alpha$ -galactosidase의 pNP-Gal 분해의 최적 pH는 4.5, 최적 온도는 55°C이며, pH 4~5에서 100%의 잔존 활성을

나타낸 반면 pH 8에서는 20%의 급격한 감소를 나타내었고, 열 안정성에서는 50°C에서 90% 이상의 잔존 활성을 나타내었으며 80°C에서는 20%의 잔존 활성을 나타내었다. 본 저령이 유래효소는 해바라기씨 유래 효소와 비교하여 최적 pH와 pH 안정성에 있어서 유사하였으나 최적 온도에 있어서는 차이를 보이며 열 안정성은 다소 높은 경향을 나타냈다.

#### 금속이온의 영향

Table 2에서 나타낸 것과 같이 저령이 유래의 정제  $\alpha$ -galactosidase는  $\text{Co}^{2+}$ ,  $\text{Zn}^{2+}$ ,  $\text{Hg}^{2+}$ 에 의해 70% 저해가 되었고,  $\text{Mn}^{2+}$ ,  $\text{Cu}^{2+}$ ,  $\text{Ag}^{2+}$ ,  $\text{Ni}^{2+}$ 에 의해 65%의 저해효과를

Table 2. Effects of various compounds on the purified  $\alpha$ -galactosidase from earthworm

| Compound <sup>a</sup> | Relative Activity (%) |
|-----------------------|-----------------------|
| NONE                  | 100                   |
| $\text{CaCl}_2$       | 81.6                  |
| $\text{ZnCl}_2$       | 29.9                  |
| $\text{HgCl}_2$       | 27.1                  |
| $\text{CoCl}_2$       | 29.9                  |
| $\text{FeCl}_2$       | 121                   |
| $\text{MnCl}_2$       | 35.3                  |
| $\text{CuSO}_4$       | 34                    |
| $\text{AgNO}_3$       | 32                    |
| $\text{NiCl}_2$       | 36                    |
| $\text{BaCl}_2$       | 61.9                  |
| $\text{CdCl}_2$       | 39.4                  |
| $\text{SnCl}_2$       | 51                    |

<sup>a</sup>Concentration of compounds is  $1.0 \times 10^{-3}$  M

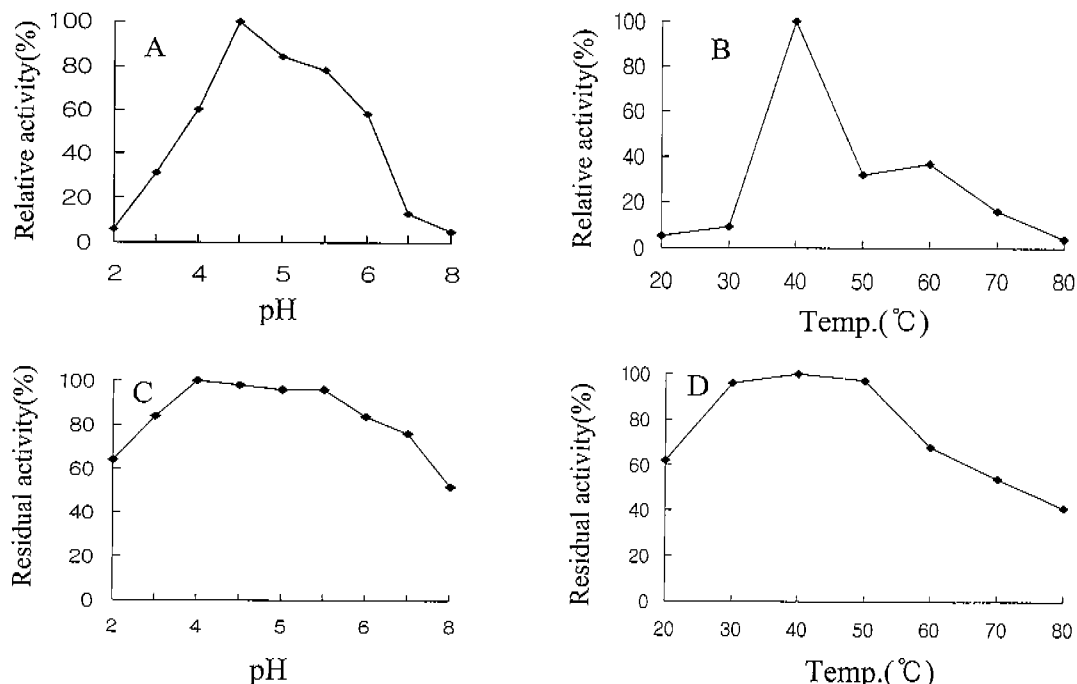


Fig. 5. Effect of pH and temperature on the purified  $\alpha$ -galactosidase. A, B: Effect of pH and temperature on the purified  $\alpha$ -galactosidase activity, C, D: Effect of pH and temperature on the purified  $\alpha$ -galactosidase stability.

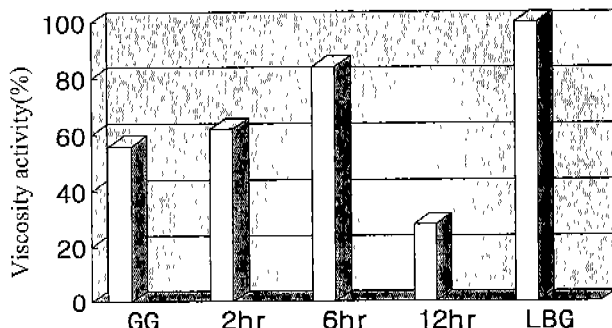


Fig. 6. Viscosity comparison of guar gum and locust bean gums treated with  $\alpha$ -galactosidase.

GG: guar gum, LBG: locust bean gum, 2, 6, 12: time of enzyme-treated at guar gum.

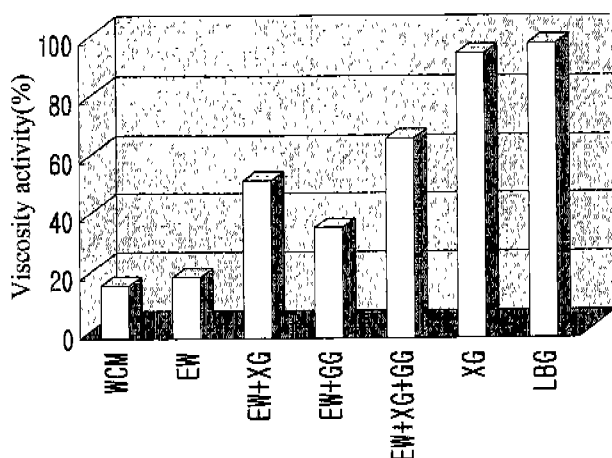


Fig. 7. Viscosity comparison of various gums treated with  $\alpha$ -galactosidase.

WCM: white copra meal, XG: xanthan gum, GG: guar gum, LBG: locust bean gum, EW: treated with enzyme white copra meal.

나타내었다. 박[15]에 의해 보고된 해바라기씨 유래의 정제  $\alpha$ -galactosidase는  $Hg^{2+}$ ,  $Ag^{2+}$ ,  $Co^{2+}$ 에 의해 84%, 74%, 70% 저해가 되어 동식물유래의 효소는  $Hg^{2+}$ ,  $Ag^{2+}$ ,  $Co^{2+}$ 에 의해 저해되는 공통점이 있었고, 해바라기씨 유래의 경우  $Mn^{2+}$ ,  $Cu^{2+}$ ,  $Ni^{2+}$ 에 의해 약 20% 저해가 되었으나 지렁이 유래의 경우는 특이적으로 큰 저해효과를 나타냈다.

#### $\alpha$ -Galactosidase 처리에 따른 galactomannan의 점도 변화

Brookfield Viscometer(Model DV-II)를 이용하여 측정한 결과 반응시간이 2시간일 때 865 mP · s, 6시간일 때 1199 mP · s, 12시간일 때 294.9 mP · s로 6시간이 되었을 때 locust bean gum 점도력의 85.3%임을 확인할 수 있어 (Fig. 6) locust bean gum 대체자원으로서 이용가치가 기대되며 white copra meal에 대한 효소처리 효과도 검토하였으나 gel 형성능력이 없었고, xanthan gum과 guar gum

을 혼합하여 점도를 측정한 결과 효소처리 된 copra meal의 점도에 비해 3배 정도의 점도증가를 나타냄에 따라 다른 gum류와의 혼합을 통해 식품점도증가제의 대체자원으로서 copra meal의 경제적 기대효과가 있을것으로 사료된다 (Fig. 7).

## 요약

*N*-ε-aminocaproyl- $\alpha$ -D-galactopyranosylamine-Sepharose를 담체로 하는 affinity chromatography에 의한 지렁이 유래  $\alpha$ -galactosidase( $\alpha$ -D-galactoside galactohydrolase EC 3. 2. 1. 22)의 정제방법과 정제효소에 대한 효소화학적 성질을 규명하였다. *N*-ε-aminocaproyl- $\alpha$ -D-galactopyranosylamine의 흡착제를 합성하여 sepharose에 coupling하였다. 기질 *p*-nitrophenyl  $\alpha$ -D-galactopyranoside에 대한 정제효소의 비활성은 314 units/mg였고, 조효소와 비교하여 122배의 정제 배율을 나타내었다. 정제효소의 순도는 SDS-polyacrylamide gel 전기영동법에 의해 단일 band를 나타내었으며, 분자량은 48,000으로 추정되었다. 정제효소의 최적 pH와 온도는 4.5, 40°C이며, pH 4~5.5, 30~50°C의 범위에서 pH와 온도 안정성을 나타내었다. 또한 정제효소는  $Zn^{2+}$ ,  $Hg^{2+}$ ,  $CO^{2+}$ 의 금속에 의해 70% 이상의 저해효과를 나타내었다. 정제효소의 용용에서 guar gum에 효소를 6시간 처리한 결과 locust bean gum의 85.3%의 점도력을 나타내었다. 이는 정제효소 처리에 의한 guar gum내의 galactose유래에 기인되어 gel화에 영향을 미치는 것으로 사료된다.

## 감사의 글

본 연구는 1996년도 한국학술진흥재단 국제협력연구과제(3차년도) 연구비에 의해 수행된 연구로서 이에 감사드립니다. 또한 affinity column chromatography를 위한 담체를 제공해주신 일본 농림수산성 식품총합연구소 분자정보해석 연구실 연구팀들에게 감사드립니다.

## REFERENCES

- Balasubramaniam, K., P. M. Dey, and J. B. Pridham. 1974. Purification and identification of an  $\alpha$ -galactosidase from the coconut. *Biochem. Soc. Trans.* **2**: 1128-1130.
- Beutler, E. and W. Kuhf. 1972. Purification and properties of an  $\alpha$ -D-galactoside galactohydrolase from the seeds of *Trifolium repens*. *J. Biol. Chem.* **207**: 7195-7200.
- Dey, P. M. and J. B. Pridham. 1969.  $\alpha$ -Galactosidase from the yeast *Candida javanica*. *J. Biol. Chem.* **113**: 49-55.
- Dey, P. M. and K. Wallenfels. 1974. Characteristic features of an  $\alpha$ -galactosidase from mung beans. *Eur. J. Bio-chem.* **50**: 107-112.
- Kaneko, R. 1991. The study of galactomannan hydrolysate. Master's Thesis, Tsukuba University.

6. Kusakabe, I., R. Takahashi, K. Murakami, A. Maekawa, and T. Suzuki. 1983. Preparation of crystalline  $\beta$ -1,4-mannooligosaccharides from copra mannan by a mannanase from *Streptomyces*. *Agric. Biol. Chem.* **47**: 2391–2395.
7. Kusakabe, I., R. Takahashi, K. Maruyama, K. Murakami, A. Maekawa, and T. Suzuki. 1985. Studies on the mannanase of *Streptomyces*. *Japan J. Trop. Agr.* **29**: 167–169.
8. Kusakabe, I., M. Zama, G. G. Park, K. Tubake, and K. Murakami. 1987. Preparation of  $\beta$ -1,4-mannobiose from *Penicillium purpurogenum*. *Agric. Biol. Chem.* **51**: 2825–2827.
9. Lowry, O. H., N. J. Rosebrough, A. L. Fan, and R. J. Randall. 1951. Protein measurement with the Folin phenol reagent. *J. Biol. Chem.* **193**: 265–271.
10. Laemmli, U. K. 1970. Cleavage of structure protein during the assembly of head of bacteriophage T4. *Nature* **227**: 680–685.
11. Noam, H., M. F. Harold, and S. Nathan. 1973. Purification of coffee bean  $\alpha$ -galactosidase by affinity chromatography. *BBA* **67157**: 213–221.
12. Park, G. G., I. Kusakabe, T. Yasui, and K. Murakami. 1988. A new method for the preparation of  $\beta$ -1,4-mannotriose from brown copra meal using the crude enzyme from *Penicillium purpurogenum*. *Japan J. Trop. Agr.* **32**: 208–211.
13. Park, G. G., I. Kusakabe, Y. Komatsu, H. Kobayashi, T. Tasui, and K. Murakami. 1987. Purification and some properties of  $\beta$ -mannanase from *Penicillium purpurogenum*. *Agric. Biol. Chem.* **51**: 2709–2712.
14. Park, G. G., 1997. Specificity of *Pichia guilliermondii*  $\alpha$ -galactosidase toward galactomannans. *J. Korean Soc. Food Sci. Nutr.* **26**(5): 844–850.
15. Park, G. G., W. D. Kim, Y. S. Park, J. B. Gang, and H. Kobayashi. 1998. Purification and properties of sunflower seed  $\alpha$ -galactosidase by affinity chromatography. *Kor. J. Appl. Microbiol. Biotechnol.* **26**(4): 316–322.
16. Petek, F. and T. Dong. 1961. Purification and properties of an  $\alpha$ -galactosidase from the coffee bean. *Enzymologia* **23**: 133–142.
17. Suzuki, H., S. C. Li, and Y. T. Li. 1970. The  $\alpha$ -galactosidase from *Mortierella vinacea* crystallization and properties. *J. Biol. Chem.* **245**: 781–786.
18. Takahashi, R., I. Kusakabe, A. Maekawa, T. Suzuki, and K. Murakami. 1983. Studies on mannanase of *Actinomycetes*. *Japan J. Trop. Agr.* **27**: 140–148.
19. Takahashi, R., I. Kusakabe, H. Kobayashi, K. Murakami, A. Maekawa, and T. Suzuki. 1984. Purification and some properties of  $\beta$ -mannanase from *Streptomyces*. *Agric. Biol. Chem.* **48**: 2189–2192.
20. Wallenfels, K. and O. P. Malhotra. 1961. Biochemistry of galactosidase. *Adv. Carbohydrate Chem.* **16**: 23–298.
21. Zama, M., I. Kusakabe, and K. Murakami. 1985. Enzymatic preparation of crystalline mannose from copra mannan. *Japan J. Trop. Agr.* **29**: 221–225.

(Received April 22, 1999)